

圖 2-1 典型鐵電材料之電滯曲線

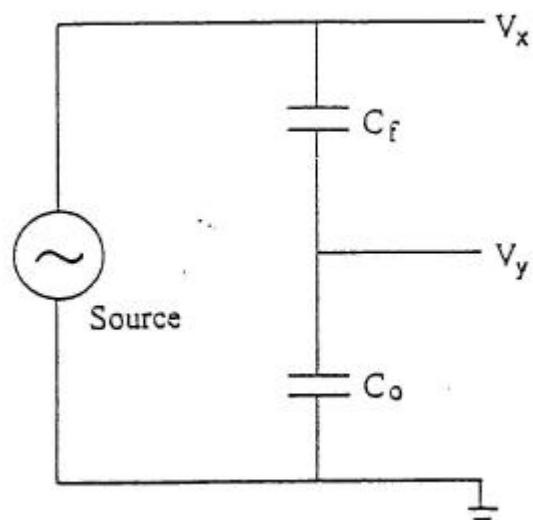
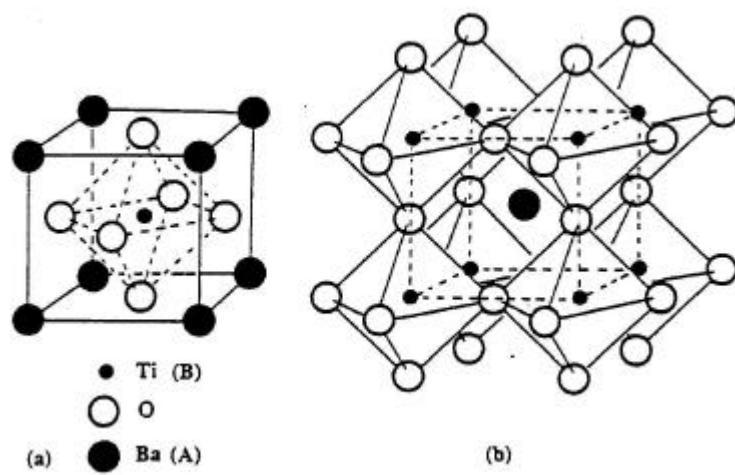


圖 2-2 Sawyer-Tower 線路圖



2-3  $\text{ABO}_3$  鈣鈦礦(perovskite)之晶體構造

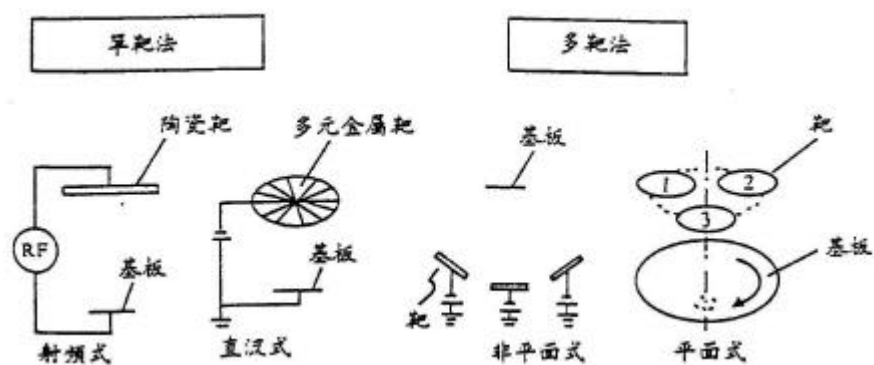


圖 2-4 濺鍍法之示意圖

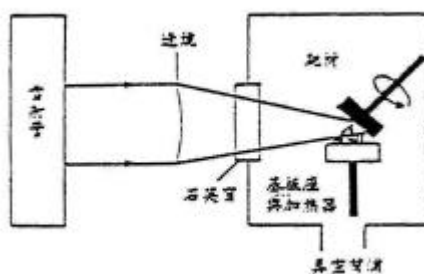


圖 2-5 雷射剝鍍法

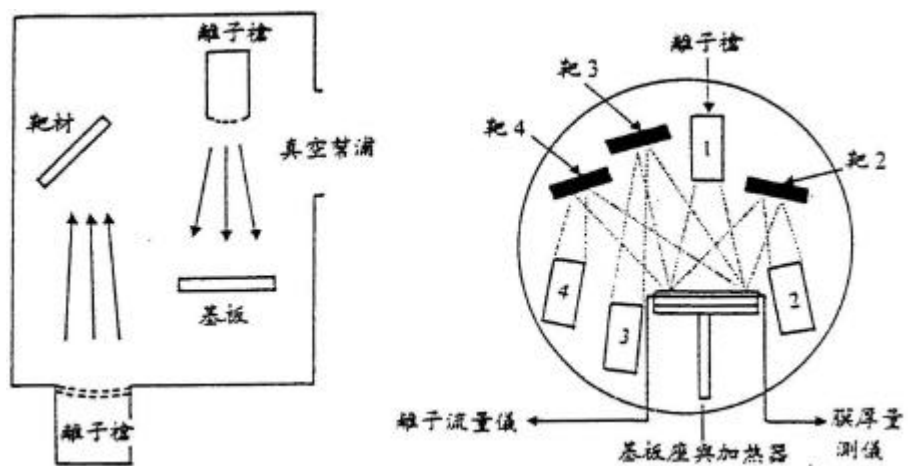


圖 2-6 離子濺鍍法之示意圖

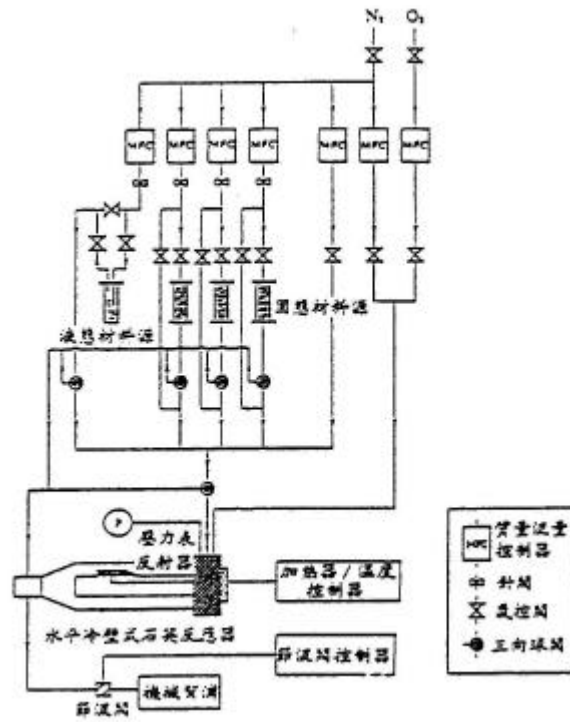


圖 2-7 金屬有機鹽化學氣相沉積法  
之示意圖

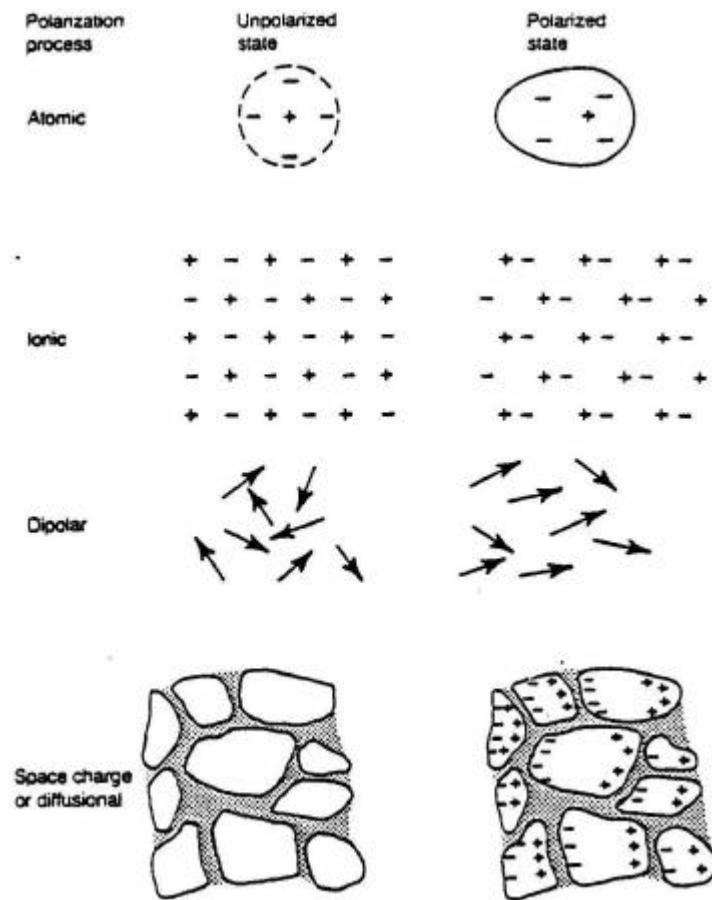


圖 2-8 四種極化機構示意圖

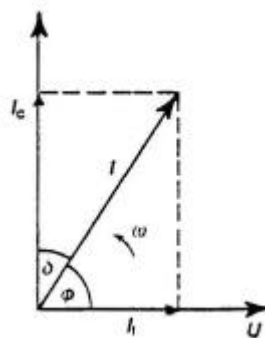


圖 2-9 實際電容器之相位變化圖

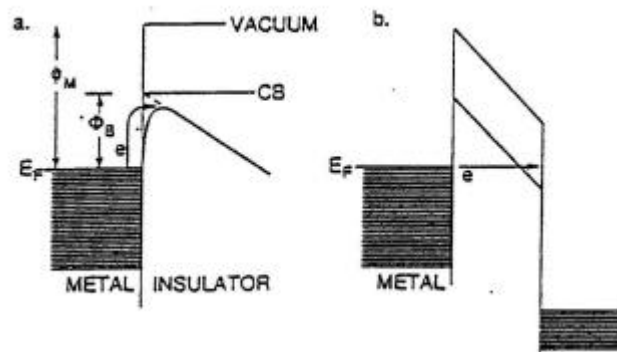


圖 2-10 能障限制之傳導機制：(a)蕭特基發射(b)穿隧效應

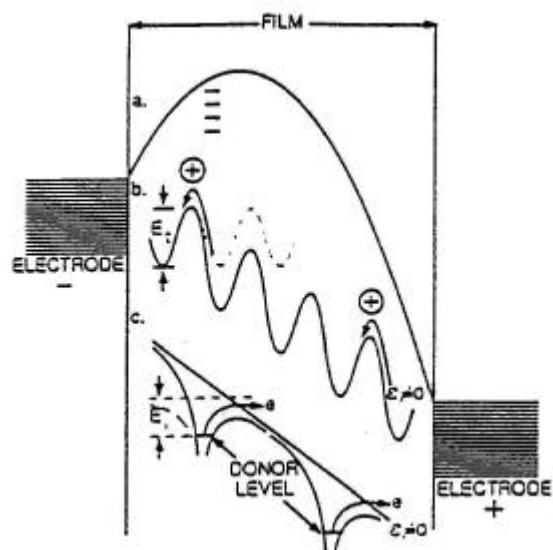


圖 2-11 本體限制之傳導機制：(a)空間電荷限制傳導(b)離子傳導(c)普爾-夫倫克爾放射。

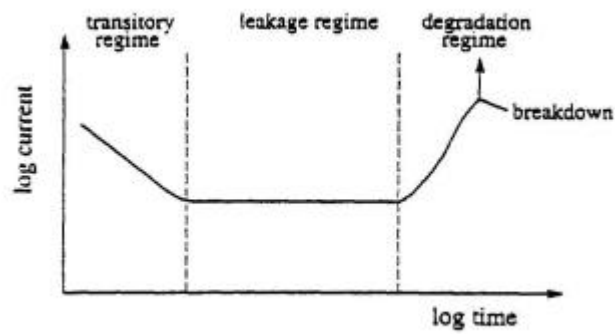


圖 2-12 漏電流與時間之關係圖

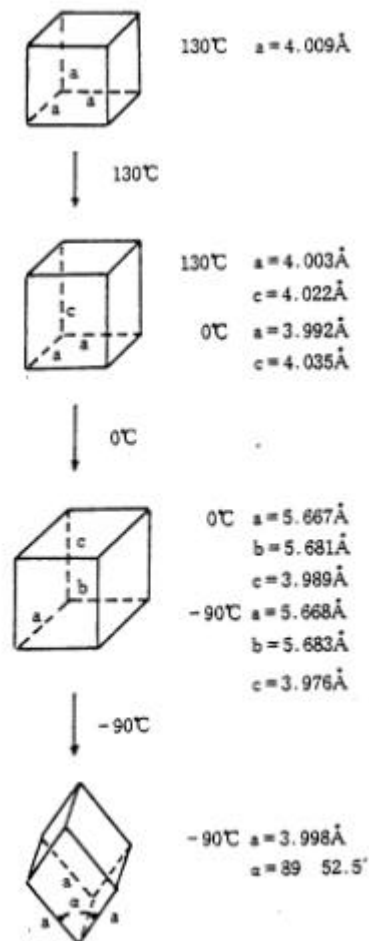


圖 2-13 BaTiO<sub>3</sub> 結晶構造與溫度的關係

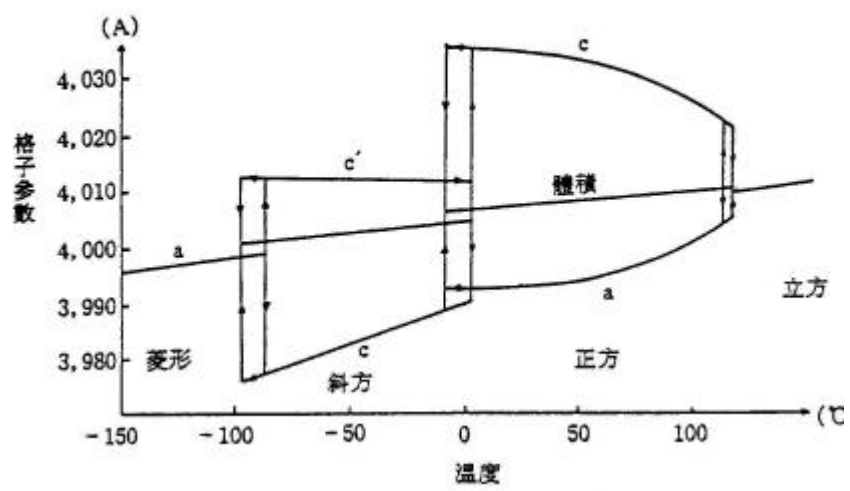


圖 2-14 BaTiO<sub>3</sub> 晶格參數與溫度的關係



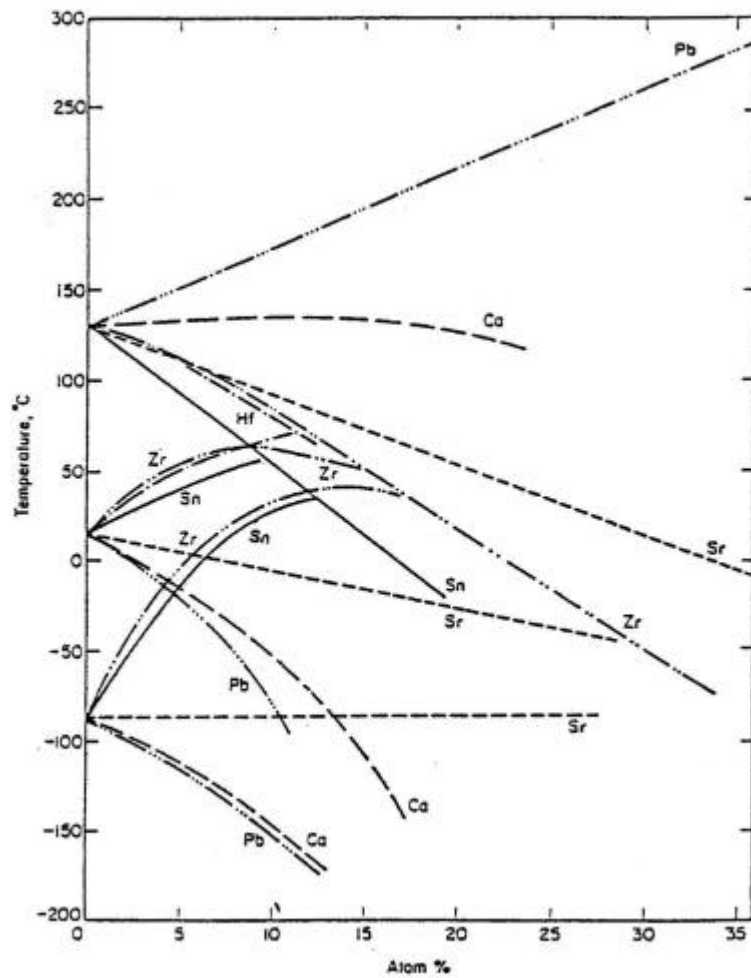


圖 2-15 等價取代離子對 BaTiO<sub>3</sub> 晶格轉換  
溫度之影響

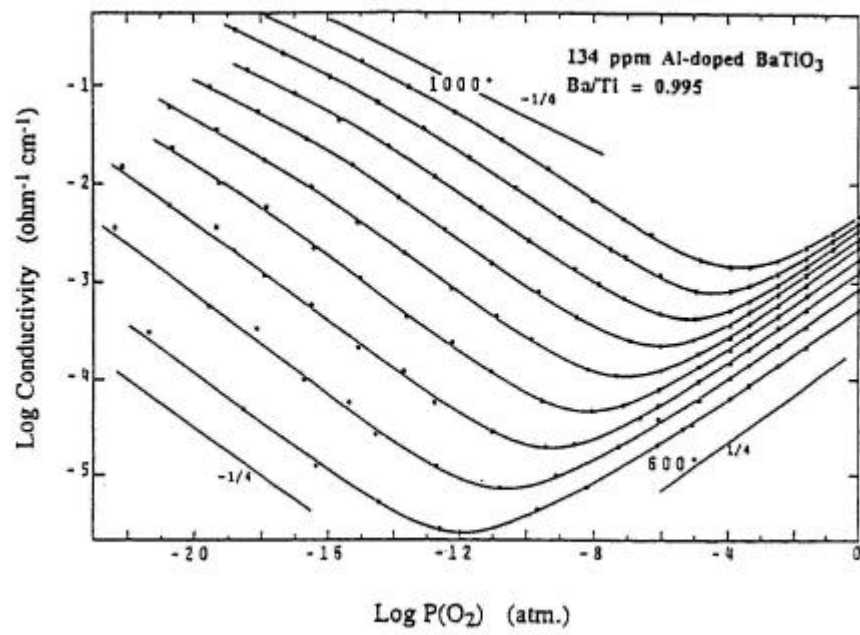


圖 2-16 氧分壓對  $\text{BaTiO}_3$  傳導性之影響



44